

**Решение задачи бифуркации цилиндрической оболочки с учетом сложного характера деформирования в момент потери устойчивости при сложном докритическом нагружении**

д.т.н. проф. Охлопков Н.Л., к.т.н. доц. Соколов С.А., Черемных С.В., к.т.н. Александров  
М.Ю.

ТвГТУ, ООО "Стандарт проект"  
8(4822) 52-63-63, stepan\_1986@bk.ru

*Аннотация.* Рассматривается задача бифуркации тонкостенной круговой цилиндрической оболочки с учетом сложного характера деформирования в момент потери устойчивости при сложном докритическом нагружении осевой сжимающей силой и крутящим моментом в девиаторной плоскости деформаций А.А. Ильюшина  $\mathcal{E}_1 - \mathcal{E}_3$ .

*Ключевые слова:* пластичность, устойчивость, сложное нагружение, бифуркация, оболочка

Решение задачи строится на основе теории неупругих систем В.Г. Зубчанинова. Используется условие несжимаемости материала и условие однородности напряженного состояния в оболочке до момента потери устойчивости. Задача решается в геометрически линейной постановке.

Для решения задачи бифуркации оболочки при сложном комбинированном докритическом нагружении в каждой точке траектории деформации необходимо знать значения компонент напряженного состояния. Таким образом, задача состоит из двух частей: построение образа процесса нагружения материала и собственно решение задачи бифуркации.

Уравнения связи напряжений и деформаций в момент потери устойчивости оболочки и при построении образа процесса нагружения материала принимаем в соответствии с определяющими соотношениями гипотезы компланарности, которые в скоростях принимают вид [2]

$$\dot{S}_{ij} = N\dot{\mathcal{E}}_{ij} + (\sigma' - N\tau)\dot{S}\frac{S_{ij}}{\sigma}, \quad (i, j = 1, 2, 3), \quad (1)$$

где:  $\sigma' = \frac{d\sigma}{dS} = P\tau$ ;  $\tau = \cos \vartheta_1$ ;  $\mathcal{E}_{ij} = e_{ij}$ ;  $S_{ij}$  - компоненты тензора-девиатора напряжений;

$\dot{\mathcal{E}}_{ij}$  - компоненты тензора-девиатора деформаций.

Здесь  $\frac{d\sigma}{dS}$ ,  $N$  - определяющие функции пластичности,  $\vartheta_1$  - угол сближения ( $\cos \vartheta_1 = \hat{\sigma} \cdot \hat{p}_1$ ),  $S$  - длина дуги траектории деформации. Символ с точкой наверху означает дифференцирование по обобщенному параметру времени  $\frac{d}{dt} = \frac{d}{dS} \cdot \frac{dS}{dt}$ .

Для определяющих функций пластичности  $N$  и  $\frac{d\sigma}{dS}$  принимаем аппроксимации, предложенные В.Г. Зубчаниновым [1].

$$N = 2G_p + \left[ 2G - 2G_p \left( \frac{1 - \cos \vartheta_1}{2} \right)^q \right]^{1/q}, \quad (2)$$
$$\frac{d\sigma}{dS} = 2G_k - \left[ 2G + 2G_k \left( \frac{1 - \cos \vartheta_1}{2} \right)^p \right]^{1/p},$$

где:  $G$ ,  $G_k$ ,  $G_p$  - модуль сдвига, касательный и секущий модули сдвига материала соответ-

ственno.

Для определения угла сближения  $\vartheta_1$  имеем:

$$\dot{\vartheta} = -\frac{\sigma \sin \vartheta_1}{N} - \chi_1, \quad (3)$$

где:  $\sigma$  - модуль вектора напряжений,  $\chi_1$  - кривизна траектории.

Уравнения (1) и (3) имеют вид уравнений задачи Коши, которую решаем методом Рунге-Кутта. Зависимость  $\sigma = \Phi(\mathcal{E}) = \Phi(S)$  полагаем универсальной для простого нагружения. За параметр обобщенного времени  $t$  на участках сложной траектории деформирования принимаются различные, монотонно возрастающие параметры процесса.

Таким образом, в каждой точке траектории деформаций определяем компоненты напряженного состояния и далее решаем бифуркационную задачу.

Цилиндрическую оболочку считаем «длинной», шарнирно подкрепленной по торцам. Решение задачи бифуркации сводим к решению задачи о собственных числах [1].

В результате окончательно получаем систему алгебраических уравнений:

$$\begin{cases} -\sigma K_* i^2 / g_1 E + i \Omega_1^{**} / 2g_1 S_* = \lambda_m^2 [\theta + 3K_* (\Omega_2^{**} - \Omega_1^{**} N_2^*/N_1^*) / 4g_1] \\ e = -2i / S_* \lambda_m^2 - (\theta_1 \Omega_1^{**} + N_2^* K_*) / N_1^* \end{cases}, \quad (4)$$

где:

$$\begin{aligned} K_* &= \sigma_{11}^* + \sigma_{22}^* r^2 - 2\sigma_{12}^* r, \quad S_* = S_{11}^* r^2 + S_{22}^* + 2S_{12}^* r, \quad \sigma_{ij}^* = \frac{\sigma_{ij}}{\sigma}, \quad S_{ij}^* = \frac{S_{ij}}{\sigma}, \quad r = \frac{n}{\lambda_m}, \\ g_1 &= \frac{D_1}{D} = \frac{3}{2} \left( N_3^* - \frac{N_2^{*2}}{N_1^*} \right), \quad \theta = (1+r^2)^2 - \frac{K_*^2}{2}, \quad \theta_1 = \frac{2(1+r^2)^2}{3S_*^2} - 1, \\ 2G \cdot N_m^* &= \int_{-1}^1 N(z^*)^{m-1} dz^*, \quad 2G \cdot \Omega_m^{**} = \int_{-1}^1 \sigma' S^*(z^*)^{m-1} dz^*, \quad z^* = \frac{z}{h}. \end{aligned}, \quad (5)$$

где  $i = 3R/h$  - гибкость оболочки.

Решение бифуркационной задачи позволяет для заданной комбинации полуволн  $m, n$  изогнутого состояния вычислить критическую гибкость оболочки  $i$  в зависимости от значения модуля вектора напряжений  $\sigma$  в момент потери устойчивости.

Эксперименты показывают [1], что в момент потери устойчивости пластин и оболочек происходит излом траекторий деформирования, т.е. процесс потери устойчивости реализуется в условиях сложного нагружения материала. Для определяющих функций пластичности  $N$  и  $\frac{d\sigma}{dS}$  принимаем аппроксимации В.Г. Зубчанинова (2) [1].

В большинстве выполненных ранее решений сложное нагружение оболочки в момент потери устойчивости учитывалось в упрощенной постановке. Полагалось, что в зоне пластической дозагрузки  $\vartheta_1 = 0^\circ (\tau = 1)$ , в зоне упругой разгрузки  $\vartheta_1 = 180^\circ (\tau = -1)$  и искалась координата  $z_p^*$  границы раздела данных зон. В предлагаемом варианте решения задачи функции пластичности  $N$  и  $\frac{d\sigma}{dS}$  изменяются непрерывно, в зависимости от  $\tau$  и  $z$ . Координату границы раздела зон определять нет необходимости, интегралы  $\Omega_m^{**}$  и  $N_m^*$  в (5) определяются численно по методу Симпсона. При этом оболочка по толщине разбивается на 20 слоев ( дальнейшее увеличение числа слоев, как показывают расчеты, не приводит к существенному уточнению решения).

В качестве нулевого приближения на каждом этапе нагружения оболочки используется решение при чистопластической бифуркации, когда излом траектории не учитывается. В

в этом случае  $\tau = 1$ , тогда  $\dot{S}^* = (e + z^* k_*)$  интегралы  $\Omega_m^{**}$ ,  $N_m^*$  (5) принимают значения [1]

$$\begin{aligned} N_1^* &= 2(1 - \varpi), N_2^* = 0, N_3^* = 2(1 - \varpi)/3, \\ \Omega_1^{**} &= 2e(1 - \lambda), \Omega_2^{**} = 2(1 - \lambda)k_*/3, g_1 = 1 - \omega, \\ e &= -2i/(S_* \lambda_m^* \nu_2), \nu_2 = 1 + \nu_1(1 - \lambda)/(1 - \varpi) \end{aligned} \quad (6)$$

где  $\varpi$  - параметр plasticности А.А.Ильюшина,  $\lambda$  - параметр разупрочнения материала.

При известных  $\sigma, \varpi, \lambda$  с учетом (6) можно вычислить критическую гибкость оболочки в нулевом приближении  $i^{(0)}$

$$i^{(0)} = \lambda_m \sqrt{-[2g_1\nu + (1 - \lambda)k_*^2]/[4(1 - \lambda)/(S_*^2 \lambda_m^2 \nu_2)] + 2\sigma k_*/E}. \quad (7)$$

Затем в нулевом приближении находим  $f_1^{(0)} = -\Omega_1^{**}/k_*$  и определяем параметры деформаций  $e^{(0)}, \varepsilon_1^{(0)}, \varepsilon_2^{(0)}, \varepsilon_3^{(0)}$  из уравнений [1]

$$\begin{aligned} N_1\varepsilon_1 &= k_* f_1 [S_{11}^* + (1 - 2r^2)/(3S_*)] + N_2^* (S_{11}^* k_* - 1) + S_{11}^* N_1^* e \\ N_1\varepsilon_2 &= k_* f_1 [S_{22}^* + (1 - 2r^2)/(3S_*)] + N_2^* (S_{22}^* k_* - r^2) + S_{22}^* N_1^* e \\ N_1\varepsilon_3 &= k_* f_1 [S_{12}^* + (1 - r/S_*)] + N_2^* (S_{12}^* k_* - r) + S_{12}^* N_1^* e \end{aligned} \quad (8)$$

Далее в первом приближении вычисляем для каждого сечения оболочки параметр излома траектории  $\tau^{(1)}$ , скорость деформаций  $\dot{S}^{*(1)}$

$$(\dot{S}^*)^2 = 2[P_{ee}^0 - zhP_{ek}^0 + z^{*2}h^2P_{kk}^0/4]\tau = (e + z^*k_*)(\dot{S}^*)^{-1}, \quad (9)$$

где:

$$\begin{aligned} P_{ee}^0 &= \varepsilon_1^2 + \varepsilon_2^2 + \varepsilon_3^2 + \varepsilon_1\varepsilon_2, \\ P_{ek}^0 &= [-(2\varepsilon_1 + \varepsilon_2) - r^2(2\varepsilon_2 + \varepsilon_1) + 2\varepsilon_3r]/h, \\ P_{kk}^0 &= 4(1 + r^2)^2/h^2, \\ e &= \sigma_{11}^*\varepsilon_1 + \sigma_{22}^*\varepsilon_2 + 2\sigma_{12}^*\varepsilon_3. \end{aligned} \quad (10)$$

Далее численно определяем значения интегралов  $\Omega_m^{**}$  и  $N_m^*$ , вычисляем  $i^{(1)}, e^{(1)}$  и рассчитываем невязку по параметру  $e$ :  $\Delta e^{(i)} = e^{(i)} - e^{(i-1)}$ . В случае, если на данном шаге  $\Delta e$  больше некоторого малого наперед заданного  $\xi$ , методом половинного деления вводим корректуру в  $e$ . Итерационный процесс продолжаем до тех пор, пока невязка  $\Delta e$  будет меньше  $\xi$ .

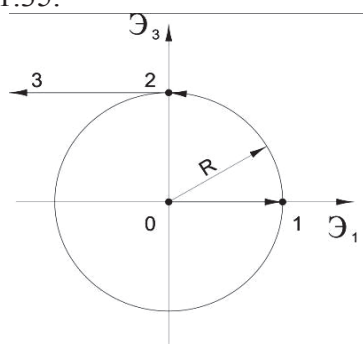
Расчеты выполнены также на основе теории устойчивости А.А.Ильюшина, в которой используются определяющие соотношения теории квазипростых процессов [1]

Расчеты сопоставлены с экспериментальными результатами, полученными на автоматизированном комплексе СН-ЭВМ в лаборатории кафедры «Сопротивление материалов, теории упругости и пластичности» Тверского государственного технического университета [3]. Эксперименты реализованы на тонкостенных круговых цилиндрических оболочках, изготовленных из стали 45.

В качестве примера рассмотрены трехзвенные траектории, представляющие собой: растяжение до заданного уровня  $R$  на первом звене; 1,25 витка траектории постоянной кривизны радиуса  $R$  на втором звене; сжатие до потери устойчивости при поддержании постоянного уровня деформации кручения  $\Theta$  на третьем звене (рисунок 1).

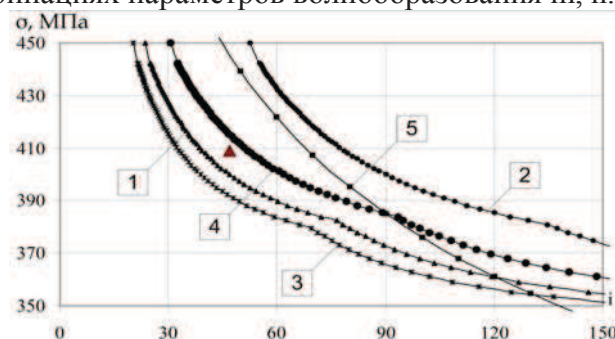
Расчеты выполнены для нескольких процессов при  $R = 0.5, 1$  и  $1.5\%$ . При данных параметрах процесса потеря устойчивости оболочки на криволинейной части траектории не происходит. Показатели степеней  $p$  и  $q$ , входящие в состав аппроксимаций [2], определяющих функций пластичности при теоретическом построении образа процесса нагружения ма-

териала, принимались  $p=0.6$  и  $q=1.35$ .

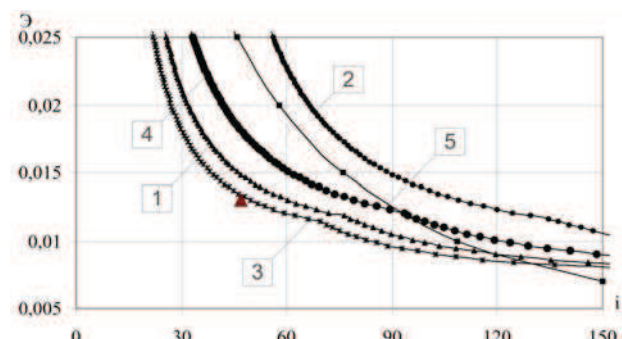


**Рисунок 1. Траектории деформирования образцов из стали 45:**  
R – радиус дуги окружности

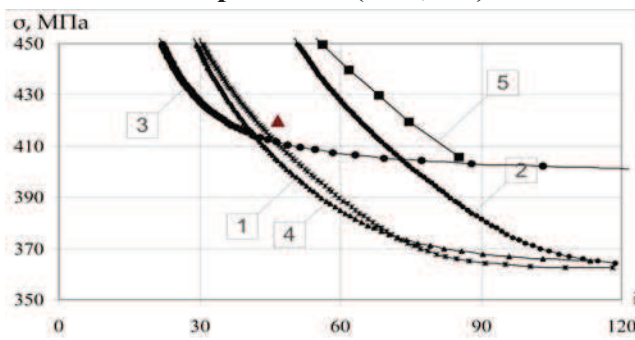
На рисунках 2-7 приведены графики критических параметров напряжений и деформаций, построенные как огибающие кривых устойчивости, вычисленных при различных комбинациях параметров волнообразования  $m$ ,  $n$ .



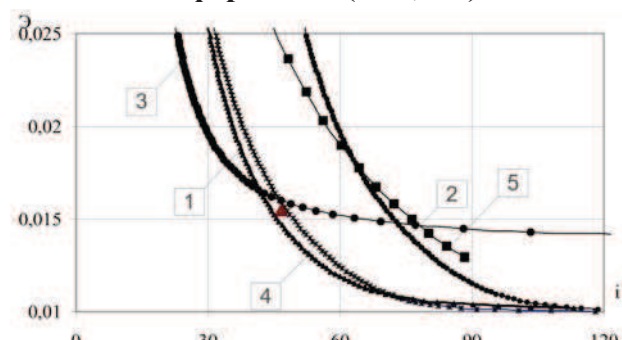
**Рисунок 2. Критические параметры напряжений ( $R=0,5\%$ )**



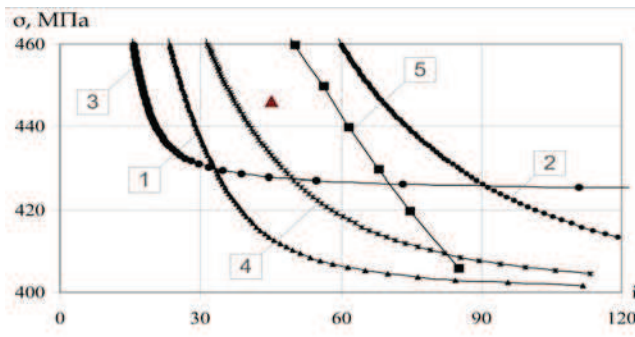
**Рисунок 3. Критические параметры деформаций ( $R=0,5\%$ )**



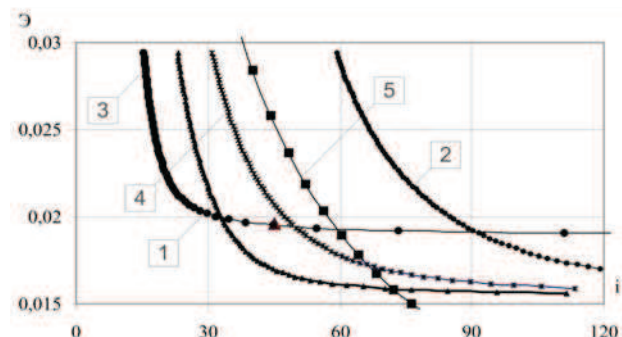
**Рисунок 4. Критические параметры напряжений ( $R=1\%$ )**



**Рисунок 5. Критические параметры деформаций ( $R=1\%$ )**



**Рисунок 6. Критические параметры напряжений ( $R=1,5\%$ )**

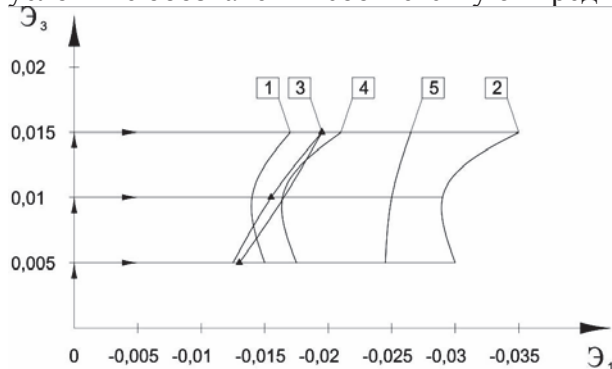


**Рисунок 7. Критические параметры деформаций ( $R=1,5\%$ )**

### Серия 3. Естественные науки.

Цифрами на рисунках обозначено: 1 – расчет, выполненный с учетом сложного характера нагружения в момент потери устойчивости при показателях степеней  $p=0.6$  и  $q=1.35$  (соответствуют значениям, принятым при решении задачи построения образа процесса нагружения); 2 – расчет при показателях степеней  $p=1$  и  $q=1$ ; 3 – расчет при показателях степеней  $p=0.55$  и  $q=1.35$ ; 4 – расчет при  $p=0.7$  и  $q=1.35$ ; 5 - расчет по теории устойчивости А.А. Ильюшина с учетом разгрузки материала в момент потери устойчивости. Треугольниками отмечены экспериментальные результаты.

На рисунке 8 в девиаторной плоскости деформаций показаны зоны устойчивых состояний оболочки. Цифры и условные обозначения соответствуют предыдущим рисункам.



**Рисунок 8. Зоны устойчивых состояний в плоскости  $\dot{\varepsilon}_1$  –  $\dot{\varepsilon}_3$  для оболочек из стали 45**

Анализ полученных результатов позволяет сделать вывод, что определяющие соотношения гипотезы компланарности и аппроксимации определяющих функций пластичности В.Г.Зубчанинова, учитывающие изменение угла сближения в процессе деформирования (2), позволяют получить достоверное решение задачи бифуркации круговой цилиндрической оболочки при сложном докритическом нагружении.

На рассмотренных процессах реальный учет сложного характера нагружения оболочки в момент потери устойчивости позволяет существенно уточнить решение в сопоставлении с расчетами, например, по теории устойчивости А.А. Ильюшина, которые дают завышенные значения критических напряжений и деформаций.

Показатели степеней  $p$  и  $q$  в аппроксимациях определяющих функций пластичности (2) при сложных докритических процессах не могут приниматься равными  $p=q=1$ , как например в [4], и зависят от реализуемой траектории. При этом влияние параметра  $p$  на расчетные значения критических напряжений и деформаций проявляется в большей степени, чем изменение параметра  $q$ .

На рассматриваемых траекториях для параметров  $p$  и  $q$  аппроксимаций (2) в решении задачи устойчивости можно принимать значения, полученные при решении задачи построения образа процесса нагружения материала.

Расчеты выполнены также для ряда иных траекторий сложного докритического нагружения [3].

#### Литература

1. Зубчанинов В.Г. Устойчивость и пластичность. Т. 1. Устойчивость. / В.Г. Зубчанинов. – М.: Физматлит, 2007. – 448 с.
2. Зубчанинов В.Г. Математическая теория пластичности: Монография. / В.Г. Зубчанинов. – Тверь: ТГТУ, 2002. – 300 с.
3. Зубчанинов В.Г. Экспериментальная пластичность: Монография. Книга 1. Процессы сложного деформирования. / В.Г. Зубчанинов, Н.Л. Охлопков, В.В. Гараников. – Тверь: ТГТУ, 2003. – 172 с.
4. Зубчанинов В.Г. Об устойчивости тонкостенных оболочек при сложном докритическом нагружении. / В.Г. Зубчанинов, Н.Л. Охлопков // Известия вузов. Строительство. - 1997. - № 6. - с.27-34.